

Wavelets

© Jorge Salvador Marques, 2009

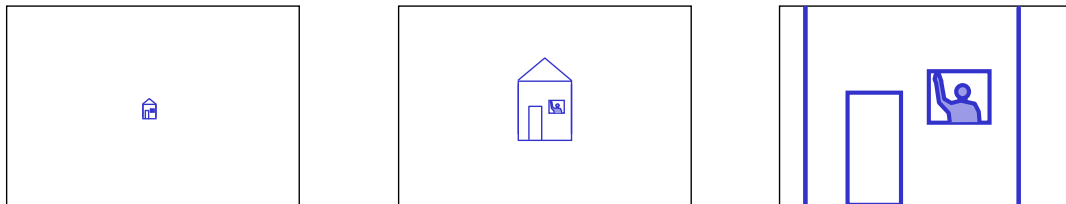
Motivação

© Jorge Salvador Marques, 2009

Qual é a melhor escala?

Os objectos aparecem na imagem com dimensões muito diferentes.

Não uma escala única que seja apropriada. Há uma **escala** adequada para representar **cada objecto**



representações multi-escala

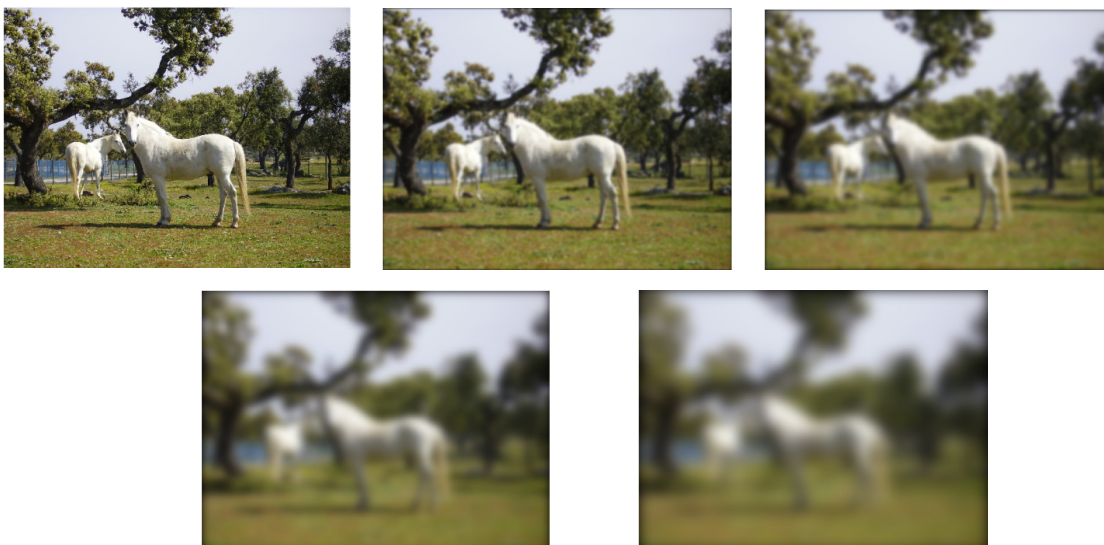
© Jorge Salvador Marques, 2009

Espaço-escala

Define-se espaço-escala como o sinal

$$I(\mathbf{x}, s) = I(\mathbf{x}) * G_s(\mathbf{x})$$

$$G_s(\mathbf{x}) = \frac{1}{2\pi s^2} e^{-\frac{\|\mathbf{x}\|^2}{2s^2}}$$



© Jorge Salvador Marques, 2009

Pirâmide gaussiana

Discretização do espaço e da escala

Recursão:

$$J_i(\mathbf{k}) = I_i(\mathbf{k}) * G_S(\mathbf{k}) \quad I_{i+1}(\mathbf{k}) = J_i(2\mathbf{k}) \quad i = 1, \dots, M$$

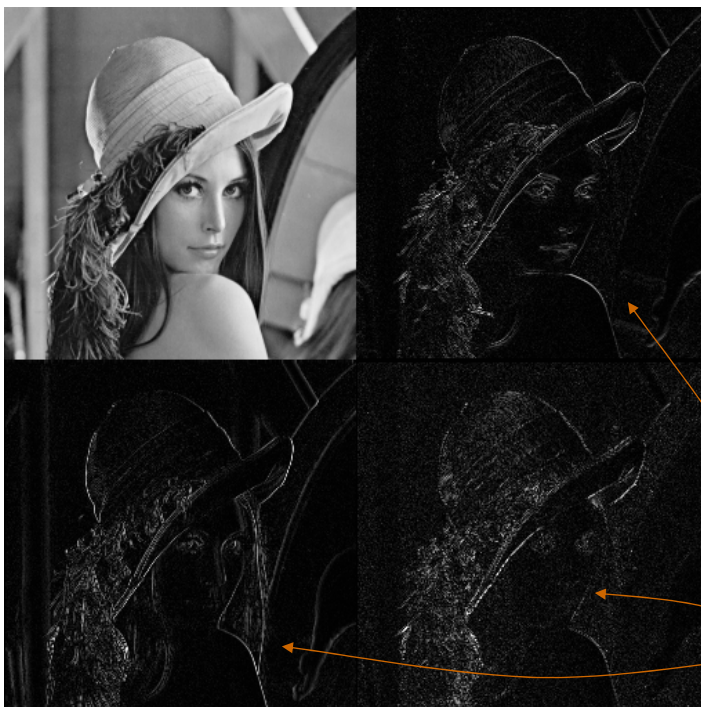


dificuldade: o número de variáveis aumenta!

© Jorge Salvador Marques, 2009

Wavelets

imagem de baixa resolução

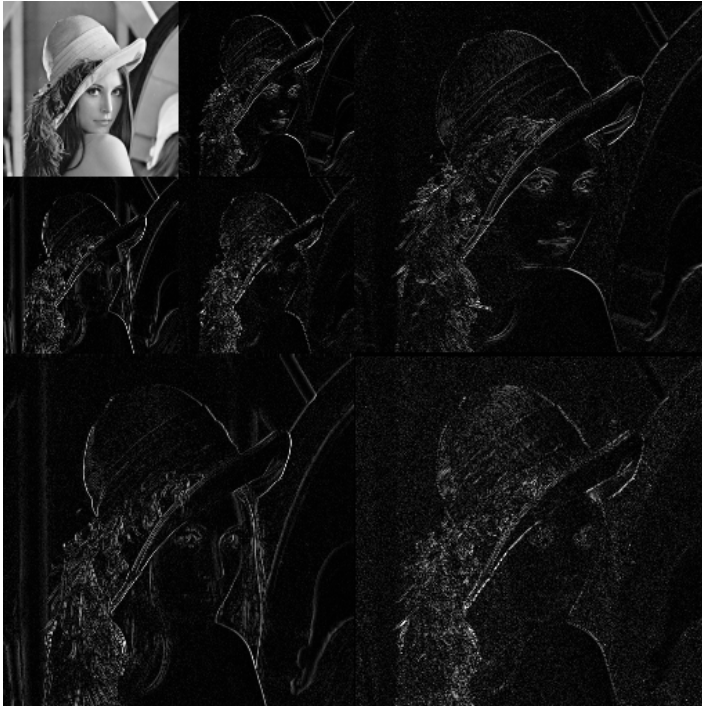


As **wavelets** permitem obter imagens de baixa resolução mantendo **toda a informação** da imagem original, **sem aumentar** o número de coeficientes.

coeficientes de detalhe

© Jorge Salvador Marques, 2009

Wavelets

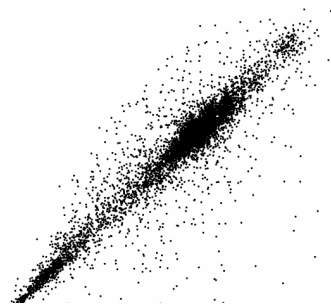


© Jorge Salvador Marques, 2009

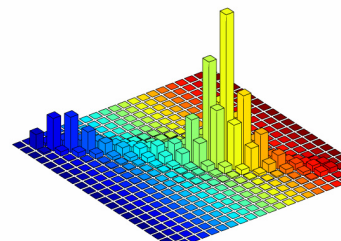
Correlação entre pixels



posição relativa dos pixels 



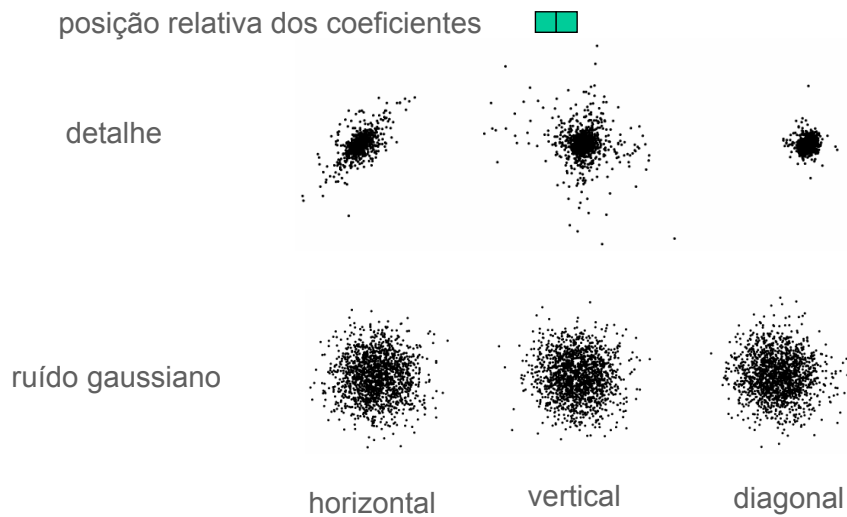
pixels vizinhos são correlacionados



© Jorge Salvador Marques, 2009

Coeficientes de detalhe

Os coeficientes de detalhe são descorrelacionados (aproximadamente).

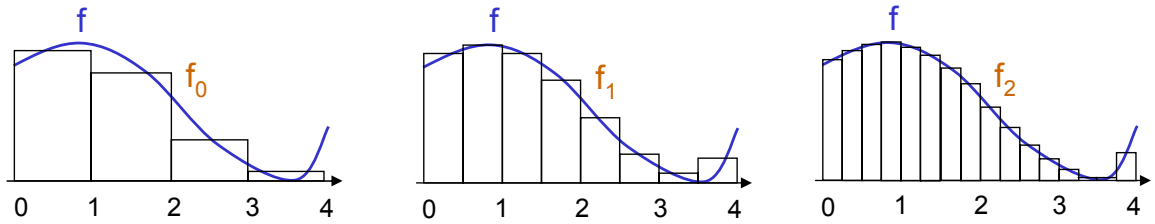


© Jorge Salvador Marques, 2009

Representação de Haar

© Jorge Salvador Marques, 2009

Aproximação de funções

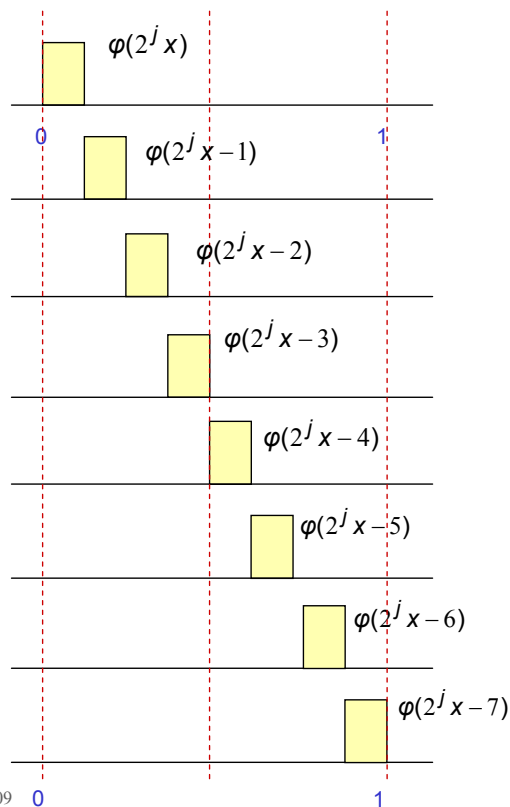


$$f_j(x) = \sum_{k=-\infty}^{+\infty} c_k \varphi(2^j x - k)$$

$$\varphi(x) = \begin{cases} 1 & 0 \leq x < 1 \\ 0 & \text{c.c.} \end{cases}$$

© Jorge Salvador Marques, 2009

Base: impulsos rectangulares

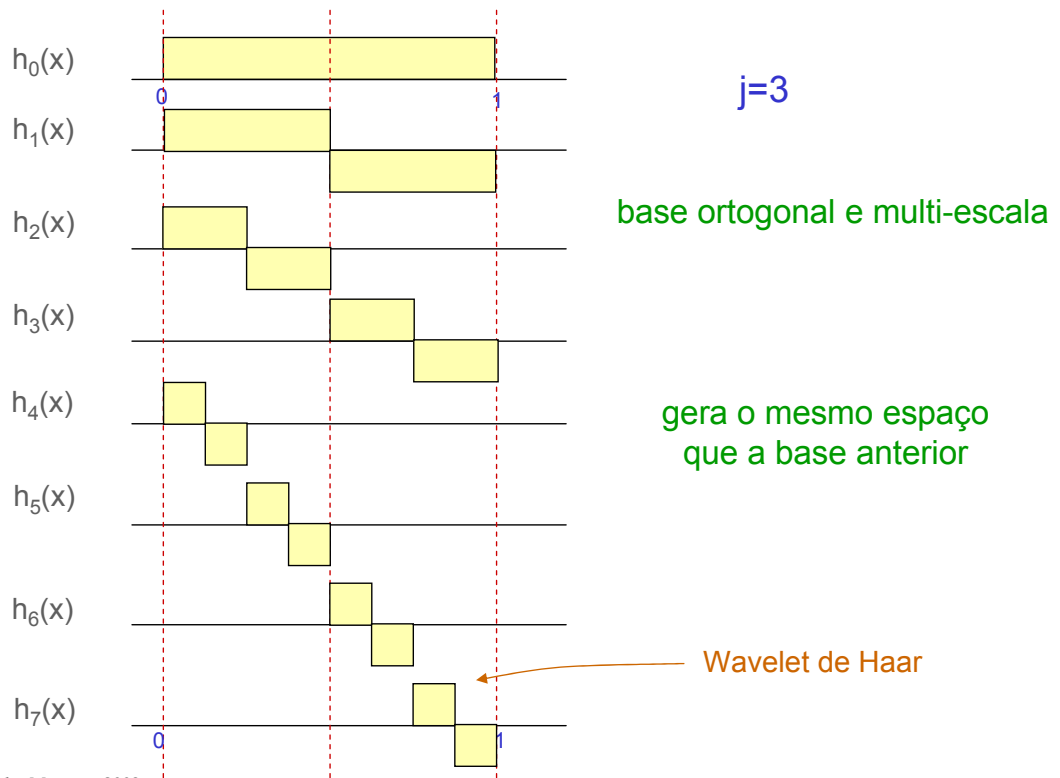


$j=3$

base ortogonal

© Jorge Salvador Marques, 2009

Base alternativa: funções de Haar (1909)



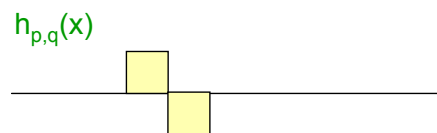
Funções de Haar

$$h_0(x) = h_{00}(x) = \frac{1}{\sqrt{N}}$$

p - escala
 q - deslocamento

$$h_k(x) = h_{pq}(x) = \frac{1}{\sqrt{N}} \begin{cases} 2^{p/2} & (q-1)/2^p \leq x < (q-0.5)/2^p \\ -2^{p/2} & (q-0.5)/2^p \leq x < q/2^p \\ 0 & \text{caso contrário} \end{cases}$$

$$k = 2^p + q - 1$$



Transformada de Haar

Realiza a mudança de base

$$d = Hc$$

$$c = [c_0 \ c_1 \ \dots \ c_{N-1}]^T$$

$$d = [d_0 \ d_1 \ \dots \ d_{N-1}]^T$$

Matriz de Haar

$$H_{ij} = h_i\left(\frac{j}{N}\right)$$

h_i – função de Haar

H ortogonal: $H^{-1} = H^T$

Exemplo

$$H = \frac{1}{\sqrt{8}} \begin{bmatrix} 1 & 1 & 1 & 1 & 1 & 1 & 1 & 1 \\ 1 & 1 & 1 & 1 & -1 & -1 & -1 & -1 \\ \sqrt{2} & \sqrt{2} & -\sqrt{2} & -\sqrt{2} & 0 & 0 & 0 & 0 \\ 0 & 0 & 0 & 0 & \sqrt{2} & \sqrt{2} & -\sqrt{2} & -\sqrt{2} \\ 2 & -2 & 0 & 0 & 0 & 0 & 0 & 0 \\ 0 & 0 & 2 & -2 & 0 & 0 & 0 & 0 \\ 0 & 0 & 0 & 0 & 2 & -2 & 0 & 0 \\ 0 & 0 & 0 & 0 & 0 & 0 & 2 & -2 \end{bmatrix}$$

A transformação de Haar é a transformada de Wavelet mais simples!

© Jorge Salvador Marques, 2009

Análise Multi-resolução

© Jorge Salvador Marques, 2009

Expansão em Série

Seja $f(x)$ uma função de quadrado integrável ($f \in L^2(\mathbb{R})$)

expansão em série

$$f(x) = \sum_k \alpha_k \varphi_k(x)$$

$\varphi_k(x)$ funções de base

cálculo dos coeficientes

$$\alpha_k = \langle \tilde{\varphi}_k(x), f(x) \rangle = \int \tilde{\varphi}_k^*(x) f(x) dx \quad \tilde{\varphi}_k(x) \text{ função dual de } \varphi_k(x)$$

se a base for ortonormada $\tilde{\varphi}_k(x) = \varphi_k(x)$

© Jorge Salvador Marques, 2009

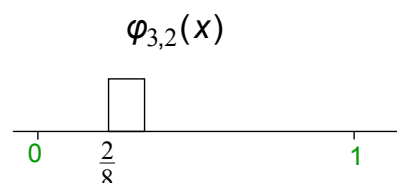
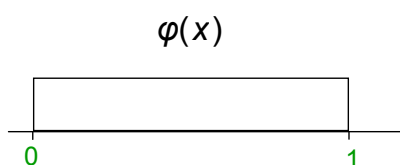
Função de Escalamento

Pretende-se que as funções de base se obtenham por **escalamento** e **deslocamento** de uma função $\varphi(x)$ designada por **função de escalamento**.

$$\varphi_{j,k}(x) = 2^{j/2} \varphi(2^j x - k)$$

j - escala
k - deslocamento

Exemplo: função de Haar



© Jorge Salvador Marques, 2009

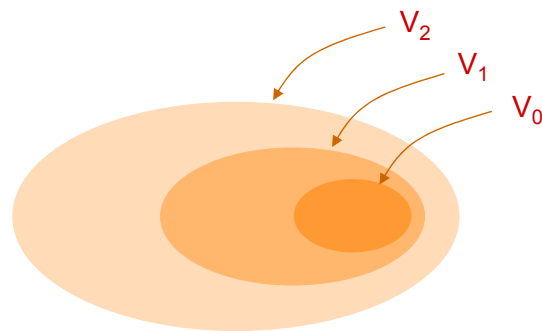
Espaço de resolução j

Designa-se por **sub-espço de resolução j** , o conjunto de funções V_j que se podem escrever como combinação linear de funções $\varphi_{j,k}(x)$

$$f(x) = \sum_k \alpha_k \varphi_{j,k}(x)$$

Se j for escolhido cuidadosamente os conjuntos V_j são **embebidos** (nested)

$$V_j \subset V_{j+1}$$



© Jorge Salvador Marques, 2009

Análise Multi-resolução

Uma função de escalamento φ e um conjunto de subespaços V_j por ela gerados definem uma **análise multi-resolução** se

1) a função de escalamento $\varphi(x)$ for **ortogonal às suas versões deslocadas**:

$$\varphi(x) \perp \varphi(x-k), \forall k$$

2) os **subespaços** V_j gerados por $\varphi(x-k)$, $\forall k$ são **embebidos** nos espaços de índice maior

$$\dots \subset V_{-2} \subset V_{-1} \subset V_0 \subset V_1 \subset V_2 \subset \dots$$

3) a única função pertencente a todos os subespaços V_j é a função nula

4) qualquer função de quadrado integrável f pode ser aproximada com precisão arbitrária por uma função de V_j .

© Jorge Salvador Marques, 2009

Equação de dilatação

Como $\varphi(x)$ pertence a V_0 , também pertence a V_1 também

Assim pode exprimir-se como combinação linear das funções de base de V_1 .

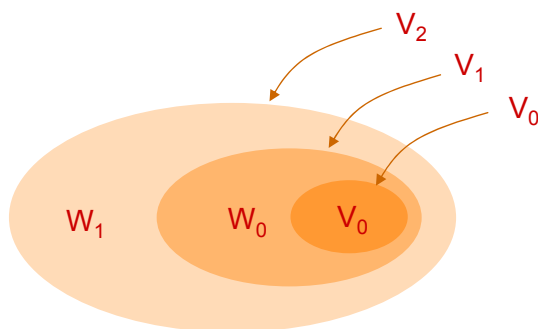
$$\varphi(x) = \sum_n h_\varphi(n) \sqrt{2} \varphi(2x - n)$$

coeficientes da função de escalamento

$$\varphi(x) = \sum_n h_\varphi(n) \varphi_{2,n}(x)$$

© Jorge Salvador Marques, 2009

Espaços ortogonais



$$V_{j+1} = V_j \oplus W_j$$

soma directa de sub-espacos

$$V_j = V_0 \oplus W_0 \oplus W_1 \oplus \dots \oplus W_j$$

W_j é um subespaço vectorial

© Jorge Salvador Marques, 2009

Wavelets

Se $\{V_j\}$ for uma análise multi-resolução então existe uma função $\psi(x)$ (wavelet) tal que

- 1) as funções wavelets $\psi_{jk}(x) = 2^{j/2} \psi(2^j x - k)$ são uma base de W_j
- 2) $\psi_{jk}(x) \perp \psi_{jm}(x) \quad \forall j, k, m$

Pode-se provar que

$$\psi(x) = \sum_n h_\psi(n) \sqrt{2} \varphi(2x - n)$$

e que

$$h_\psi(n) = (-1)^n h_\varphi(n)$$

© Jorge Salvador Marques, 2009

Desenho da função de escalamento

O desenho da função de escalamento $\varphi(x)$ e respectiva wavelet $\psi(x)$ não é abordada neste curso. Há várias famílias de funções propostas (p.ex., por Daubechies).

O caso mais simples é o impulso rectangular (Haar)

$$\varphi(x) = \begin{cases} 1 & 0 \leq x < 1 \\ 0 & \text{c.c.} \end{cases}$$

© Jorge Salvador Marques, 2009

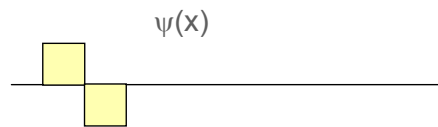
Exemplo

Admitamos que φ é a função de Haar

$$\varphi(x) = \begin{cases} 1 & 0 \leq x < 1 \\ 0 & \text{c.c.} \end{cases} \quad \varphi(x) = \frac{1}{\sqrt{2}} \sqrt{2}\varphi(2x) + \frac{1}{\sqrt{2}} \sqrt{2}\varphi(2x-1)$$

Assim

$$h_\varphi(n) = \begin{cases} \frac{1}{\sqrt{2}} & n = 0 \\ \frac{1}{\sqrt{2}} & n = 1 \\ 0 & \text{c.c.} \end{cases} \quad h_\psi(n) = \begin{cases} \frac{1}{\sqrt{2}} & n = 0 \\ -\frac{1}{\sqrt{2}} & n = 1 \\ 0 & \text{c.c.} \end{cases} \quad \psi(x) = \begin{cases} 1 & 0 \leq x < 0.5 \\ -1 & 0.5 \leq x < 1 \\ 0 & \text{c.c.} \end{cases}$$



© Jorge Salvador Marques, 2009

Expansão em série de wavelets

Como

$$L^2(\mathbb{R}) = V_{j_0} \oplus W_{j_0} \oplus W_{j_0+1} \oplus W_{j_0+2} \dots$$

se $f(x)$ for um sinal de quadrado integrável

$$f(x) = \sum_k c_{j_0,k} \varphi_{j_0,k}(x) + \sum_{j=j_0}^{\infty} \sum_k d_{j,k} \psi_{j,k}(x)$$

$c_{j_0,k}$ coeficientes de aproximação

$d_{j,k}$ coeficientes de detalhe

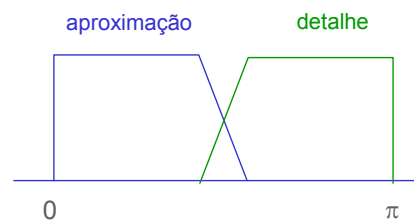
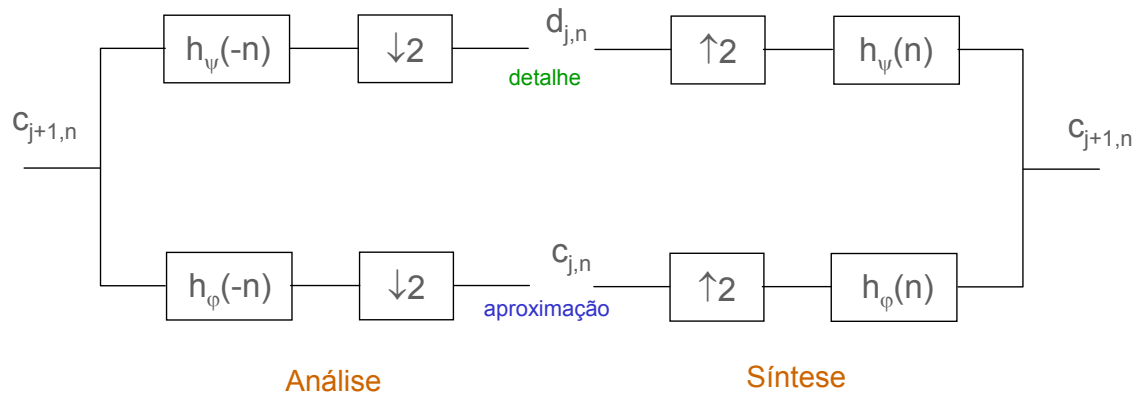
$$c_{j,k} = \langle f(x), \varphi_{jk}(x) \rangle$$

$$d_{j,k} = \langle f(x), \psi_{jk}(x) \rangle$$

© Jorge Salvador Marques, 2009

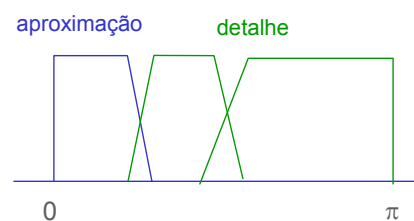
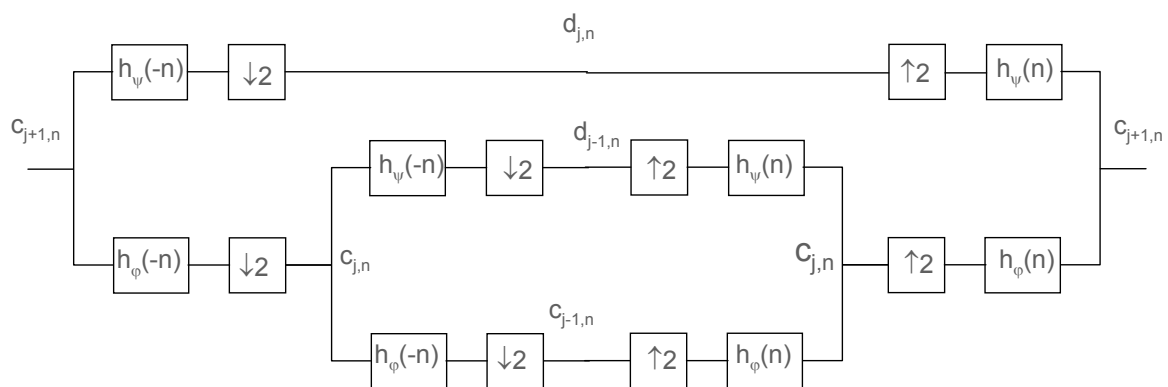
Transformada de wavelet rápida

O cálculo dos coeficientes de aproximação e de detalhe pode ser feita através de um banco de filtros



© Jorge Salvador Marques, 2009

Transformada multi-escala



© Jorge Salvador Marques, 2009

Exemplo

Filtros associados à wavelet de Haar

$$h_{\varphi}(n) = \frac{1}{\sqrt{2}}\delta(n) + \frac{1}{\sqrt{2}}\delta(n-1)$$

$$h_{\psi}(n) = \frac{1}{\sqrt{2}}\delta(n) - \frac{1}{\sqrt{2}}\delta(n-1)$$

sinal

$$f(n) = [0 \ 2 \ 1 \ 3 \ 1 \ -1 \ 0 \ 4]$$

Transformada de wavelet rápida

$$f(n) * h_{\varphi}(-n) = \frac{1}{\sqrt{2}} [2 \ 3 \ 4 \ 4 \ 0 \ -1 \ 4 \ 4] \xrightarrow{\downarrow 2} c_{-1} = \frac{1}{\sqrt{2}} [2 \ 4 \ 0 \ 4]$$

$$f(n) * h_{\psi}(-n) = \frac{1}{\sqrt{2}} [-2 \ 1 \ -2 \ 2 \ 2 \ -1 \ -4 \ 4] \xrightarrow{\downarrow 2} d_{-1} = \frac{1}{\sqrt{2}} [-2 \ -2 \ 2 \ -4]$$

$$\uparrow 2(c_{-1}) = \frac{1}{\sqrt{2}} [2 \ 0 \ 4 \ 0 \ 0 \ 0 \ 4 \ 0] \xrightarrow{*h_{\varphi}(n)} [1 \ 1 \ 2 \ 2 \ 0 \ 0 \ 2 \ 2]$$

$$\uparrow 2(d_{-1}) = \frac{1}{\sqrt{2}} [-2 \ 0 \ -2 \ 0 \ 2 \ 0 \ 4 \ 0] \xrightarrow{*h_{\psi}(n)} [-1 \ 1 \ -1 \ 1 \ 1 \ -1 \ -2 \ 2]$$

0 2 1 3 1 -1 0 4

© Jorge Salvador Marques, 2009

Representação de Imagens

Como representar imagens discretas usando wavelets?

Há 2 dificuldades:

a imagem é discreta

depende de duas variáveis independentes

1ª questão (sinal discreto): dado um sinal discreto, pode-se admitir que os valores do sinal $l(n)$ são os coeficientes de ordem j , $c_{j,m}$, e aplicar wavelets para obter os coeficientes de resoluções mais baixas.

2ª questão (sinal bidimensional): aplicar a transformada de Haar a cada coluna da imagem e depois aplicar a transformada de Haar a cada linha da matriz resultante.

© Jorge Salvador Marques, 2009

Exemplo



© Jorge Salvador Marques, 2009

Leituras sugeridas

S. G. Mallat, "A Theory for Multiresolution Signal Decomposition: A Wavelet Representation," IEEE Transactions on Pattern Analysis and Machine Intelligence, Vol 11, No. 7, July 1989.

Gonzalez, Woods, Digital Image Processing, Prentice Hall, 2008

© Jorge Salvador Marques, 2009